

УДК 519.248.6

## ДИНАМИКА ПРОСТРАНСТВЕННОГО ДВИЖЕНИЯ РОТОРНОЙ СИСТЕМЫ В ЗАДАЧАХ ДИНАМИЧЕСКОЙ ДИАГНОСТИКИ

**М.В. ЧУВЕЙКО**

(Донской государственный технический университет)

*Рассмотрено применение кватернионной кинематики для построения математической модели роторной системы, осуществляющей пространственное движение.*

**Ключевые слова:** динамика роторных систем, кватернионы, параметры Родрига–Гамильтона.

**Введение.** При построении систем динамической диагностики узлов трения в роторных системах типичной задачей является выяснение взаимосвязи изменяющейся геометрии контактирующих поверхностей с наблюдаемыми координатами. Для этого, прежде всего, необходимо создать математическую модель динамики диагностируемого объекта. Рассмотрим методику построения модели роторной системы.

В большинстве случаев роторные системы представляют собой тела (валы), имеющие две различные точки закрепления в подшипниках. Для математического описания роторной системы, совершающей пространственное движение, необходимо задать две системы дифференциальных уравнений: систему, определяющую динамику движения центра масс, а также динамику сферического движения.

**Уравнение Эйлера в параметрах Родрига–Гамильтона.** Обозначим неподвижную прямоугольную систему координат как  $X = [\bar{x}_1 \ \bar{x}_2 \ \bar{x}_3]$ , где  $\bar{x}_i$  – орты соответствующих осей (рис. 1). Кроме того, свяжем с валом подвижную прямоугольную систему координат  $Y = [\bar{y}_1 \ \bar{y}_2 \ \bar{y}_3]$ , где  $\bar{y}_i$  – орты соответствующих осей. Причем, выберем  $Y$  так, чтобы начало системы координат совпадало с центром масс вала  $\mathbf{c}$ , а оси совпадали с главными осями инерции вала в точке  $\mathbf{c}$ . Тогда, в соответствии с теоремой о движении центра масс [1], первая система уравнений примет вид:

$$m\ddot{c}_i^X = F_i^X, \quad i = \overline{1,3}, \quad (1)$$

где  $c_i^X$  – координаты точки  $\mathbf{c}$  (центра масс) в  $X$ ;  $F_i^X$  – проекции главного вектора внешних сил  $\vec{F}$  на оси в  $X$ ;  $m$  – масса вала.

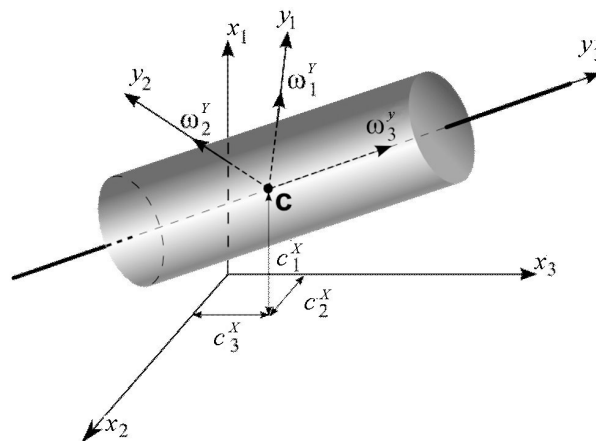


Рис. 1. Обобщенная роторная система

Вторая система дифференциальных уравнений, определяющая сферическое движение твердого тела, как известно, описывается уравнениями Эйлера [1]:

$$\begin{cases} J_1 \dot{\omega}_1^Y + \omega_3^Y \omega_2^Y (J_3 - J_2) = M_1^Y, \\ J_2 \dot{\omega}_2^Y + \omega_1^Y \omega_3^Y (J_1 - J_3) = M_2^Y, \\ J_3 \dot{\omega}_3^Y + \omega_2^Y \omega_1^Y (J_2 - J_1) = M_3^Y, \end{cases} \quad (2)$$

где  $M_i^Y, \omega_i^Y$  – проекции соответственно главного вектора внешних моментов  $\vec{M}$  и угловой частоты на оси  $Y$ ;  $J_i$  – моменты инерции.

Очевидным недостатком уравнений (2) является то, что они представлены в подвижной системе координат. Кроме того, из них явным образом не следуют динамика положения вала, так как  $\omega_i^Y$  задает лишь его «скорость изменения». Для устранения последнего недостатка необходимо задать способ представления вала в пространстве, т. е. такую систему переменных, которая бы однозначным образом определяла ориентацию вала, и выразить  $\omega_i^Y$  через данную совокупность переменных. Существуют различные способы решения данной проблемы. В качестве таких переменных нами использованы так называемые параметры Родрига–Гамильтона.

В соответствии с теоремой Эйлера–Даламбера, абсолютно твердое тело из произвольного начального положения может быть переведено в любое другое положение (при сферическом движении) посредством лишь одного конечного поворота вокруг некоторой оси  $O\xi$  на угол  $\varphi$ . Это свойство положено в основу кватернионной кинематики сферического движения твердого тела [2]. Исходя из нее любое положение твердого тела (относительно некоторого начального)

может быть описано посредством кватерниона  $\Lambda = \lambda_0 + \sum_{i=1}^3 \mathbf{i}_i \lambda_i$ , где  $\lambda_i$  – параметры Родрига–

Гамильтона,  $\mathbf{i}_i$  – кватернионные единицы. Кватернионные единицы могут быть ассоциированы с оортами  $\vec{x}_1, \vec{x}_2, \vec{x}_3$ , т. е. будет иметь место  $\vec{x}_i = \mathbf{i}_i$ . При этом говорят, что кватернион представлен в базисе  $X$ . В дальнейшем рассмотрены лишь кватернионы в  $X$ . В кватернионной кинематике на параметры Родрига–Гамильтона налагают условие нормировки:

$$\lambda_0^2 + \lambda_1^2 + \lambda_2^2 + \lambda_3^2 = 1. \quad (3)$$

Для любого вектора  $\vec{V}$ , представленного координатами  $V_X$  в неподвижном базисе  $X$ , можно найти его координатное представление в базисе  $Y$  по формуле:

$$V_Y = P V_X, \quad (4)$$

где  $P$  – матрица направляющих косинусов, определенная как

$$P = \begin{bmatrix} \lambda_0^2 + \lambda_1^2 - \lambda_2^2 - \lambda_3^2 & 2(\lambda_1 \lambda_2 + \lambda_0 \lambda_3) & 2(\lambda_1 \lambda_3 - \lambda_0 \lambda_2) \\ 2(\lambda_1 \lambda_2 - \lambda_0 \lambda_3) & \lambda_0^2 - \lambda_1^2 + \lambda_2^2 - \lambda_3^2 & 2(\lambda_2 \lambda_3 + \lambda_0 \lambda_1) \\ 2(\lambda_1 \lambda_3 + \lambda_0 \lambda_2) & 2(\lambda_2 \lambda_3 - \lambda_0 \lambda_1) & \lambda_0^2 - \lambda_1^2 - \lambda_2^2 + \lambda_3^2 \end{bmatrix}.$$

Установим связь между проекциями вектора угловой частоты  $\vec{\omega}$  на подвижные оси  $Y$  и параметрами Родрига–Гамильтона. Для этого используем кинематическое уравнение Пуассона:

$$\dot{\Lambda} = \frac{1}{2} \Lambda \circ \vec{\omega}, \quad (5)$$

где символ « $\circ$ » обозначает операцию кватернионного умножения.

Используя матричное представление кватернионов [2], можно получить координатную запись данного выражения:

$$\begin{cases} \omega_1^Y = 2(\lambda_0 \dot{\lambda}_1 - \lambda_1 \dot{\lambda}_0 - \lambda_2 \dot{\lambda}_3 + \lambda_3 \dot{\lambda}_2), \\ \omega_2^Y = 2(\lambda_0 \dot{\lambda}_2 - \lambda_2 \dot{\lambda}_0 + \lambda_1 \dot{\lambda}_3 - \lambda_3 \dot{\lambda}_1), \\ \omega_3^Y = 2(\lambda_0 \dot{\lambda}_3 - \lambda_1 \dot{\lambda}_2 + \lambda_2 \dot{\lambda}_1 - \lambda_3 \dot{\lambda}_0). \end{cases} \quad (6)$$

Подставив уравнения (6) в уравнения динамики сферического движения (2), получим систему уравнений динамики сферического движения в параметрах Родрига–Гамильтона. Причем условие нормировки (3) необходимо рассматривать в качестве одного из первых интегралов движения. Однако полученная система имеет неудобную форму для проведения численного моделирования. Получим более компактную форму. Из формулы (6), а также из условия нормировки, несложно видеть, что имеет место:

$$\begin{bmatrix} 0 \\ \omega_1^Y \\ \omega_2^Y \\ \omega_3^Y \end{bmatrix} = 2 \begin{bmatrix} \lambda_0 & \lambda_1 & \lambda_2 & \lambda_3 \\ -\lambda_1 & \lambda_0 & \lambda_3 & -\lambda_2 \\ -\lambda_2 & -\lambda_3 & \lambda_0 & \lambda_1 \\ -\lambda_3 & \lambda_2 & -\lambda_1 & \lambda_0 \end{bmatrix} \begin{bmatrix} \dot{\lambda}_0 \\ \dot{\lambda}_1 \\ \dot{\lambda}_2 \\ \dot{\lambda}_3 \end{bmatrix}, \quad (7)$$

$$\begin{bmatrix} 0 \\ \omega_3^Y \omega_2^Y \\ \omega_1^Y \omega_3^Y \\ \omega_2^Y \omega_1^Y \end{bmatrix} = 4 \left( \begin{bmatrix} 1 & 0 & 0 & 0 \\ 0 & 0 & 0 & 1 \\ 0 & 1 & 0 & 0 \\ 0 & 0 & 1 & 0 \end{bmatrix} \begin{bmatrix} \lambda_0 & \lambda_1 & \lambda_2 & \lambda_3 \\ -\lambda_1 & \lambda_0 & \lambda_3 & -\lambda_2 \\ -\lambda_2 & -\lambda_3 & \lambda_0 & \lambda_1 \\ -\lambda_3 & \lambda_2 & -\lambda_1 & \lambda_0 \end{bmatrix} \begin{bmatrix} \dot{\lambda}_0 \\ \dot{\lambda}_1 \\ \dot{\lambda}_2 \\ \dot{\lambda}_3 \end{bmatrix} \right) \bullet \left( \begin{bmatrix} 1 & 0 & 0 & 0 \\ 0 & 0 & 1 & 0 \\ 0 & 0 & 0 & 1 \\ 0 & 1 & 0 & 0 \end{bmatrix} \begin{bmatrix} \lambda_0 & \lambda_1 & \lambda_2 & \lambda_3 \\ -\lambda_1 & \lambda_0 & \lambda_3 & -\lambda_2 \\ -\lambda_2 & -\lambda_3 & \lambda_0 & \lambda_1 \\ -\lambda_3 & \lambda_2 & -\lambda_1 & \lambda_0 \end{bmatrix} \begin{bmatrix} \dot{\lambda}_0 \\ \dot{\lambda}_1 \\ \dot{\lambda}_2 \\ \dot{\lambda}_3 \end{bmatrix} \right), \quad (8)$$

где под символом « $\bullet$ » подразумевается операция поэлементного умножения.

Операция поэлементного умножения определяется следующим образом: если  $A = [a_{ij}]$  и  $B = [b_{ij}]$ , то матрица, определенная как  $C = A \bullet B$ , будет состоять из элементов  $c_{ij} = a_{ij} b_{ij}$ .

Продифференцировав (7), с учетом (3) получим:

$$\begin{bmatrix} 0 \\ \dot{\omega}_1^Y \\ \dot{\omega}_2^Y \\ \dot{\omega}_3^Y \end{bmatrix} = 2 \begin{bmatrix} \lambda_0 & \lambda_1 & \lambda_2 & \lambda_3 \\ -\lambda_1 & \lambda_0 & \lambda_3 & -\lambda_2 \\ -\lambda_2 & -\lambda_3 & \lambda_0 & \lambda_1 \\ -\lambda_3 & \lambda_2 & -\lambda_1 & \lambda_0 \end{bmatrix} \begin{bmatrix} \ddot{\lambda}_0 \\ \ddot{\lambda}_1 \\ \ddot{\lambda}_2 \\ \ddot{\lambda}_3 \end{bmatrix} - M_0, \quad (9)$$

где  $M_0$  – вспомогательное обозначение, определяемое следующим образом:

$$M_0 = \begin{bmatrix} -2(\dot{\lambda}_0^2 + \dot{\lambda}_1^2 + \dot{\lambda}_2^2 + \dot{\lambda}_3^2) & 0 & 0 & 0 \end{bmatrix}^T.$$

Введем следующие обозначения:

$$\lambda = \begin{bmatrix} \lambda_0 \\ \lambda_1 \\ \lambda_2 \\ \lambda_3 \end{bmatrix}, \quad \Lambda = \begin{bmatrix} \lambda_0 & \lambda_1 & \lambda_2 & \lambda_3 \\ -\lambda_1 & \lambda_0 & \lambda_3 & -\lambda_2 \\ -\lambda_2 & -\lambda_3 & \lambda_0 & \lambda_1 \\ -\lambda_3 & \lambda_2 & -\lambda_1 & \lambda_0 \end{bmatrix}, \quad K = \begin{bmatrix} 0 & 0 & 0 \\ 1 & 0 & 0 \\ 0 & 1 & 0 \\ 0 & 0 & 1 \end{bmatrix},$$

$$T = \begin{bmatrix} 1 & 0 & 0 & 0 \\ 0 & 0 & 0 & 1 \\ 0 & 1 & 0 & 0 \\ 0 & 0 & 1 & 0 \end{bmatrix}, \quad J = 2 \begin{bmatrix} 1 & 0 & 0 & 0 \\ 0 & J_1 & 0 & 0 \\ 0 & 0 & J_2 & 0 \\ 0 & 0 & 0 & J_3 \end{bmatrix}, \quad G = 4 \begin{bmatrix} 1 & 0 & 0 & 0 \\ 0 & J_3 - J_2 & 0 & 0 \\ 0 & 0 & J_1 - J_3 & 0 \\ 0 & 0 & 0 & J_2 - J_1 \end{bmatrix}.$$

Тогда, с учетом вышесказанного, уравнение Эйлера (2) в параметрах Родрига–Гамильтона будет иметь вид:

$$J\Lambda\ddot{\lambda} + G\left[(T\Lambda\dot{\lambda}) \bullet (T^T\Lambda\dot{\lambda})\right] = \hat{M}^0 + KM^Y, \quad (10)$$

или в неподвижной системе координат  $X$ :

$$\ddot{\lambda} = \Lambda^T J^{-1} \left( KPM^X + M^0 - G\left[(T\Lambda\dot{\lambda}) \bullet (T^T\Lambda\dot{\lambda})\right] \right). \quad (11)$$

**Уравнения движения обобщенной роторной системы.** Обозначим точки закрепления вала в подшипниках как  $\mathbf{a} = \sum_{i=1}^3 \bar{x}_i a_i$  и  $\mathbf{b} = \sum_{i=1}^3 \bar{x}_i b_i$  (рис. 2). Кроме того, будем полагать, что  $a_3$  и  $b_3$  остаются неизменными независимо от вращения основного вала. Обозначим вектор силы, порождаемый динамической связью (силовой функцией), в точках  $\mathbf{a}$  и  $\mathbf{b}$  соответственно  $\vec{F}^a$  и  $\vec{F}^b$ , а суммарный момент трения –  $\vec{M}^{ab}$ . Принимая  $l$  за длину вала и используя матрицу  $P$ , несложно получить значения координат  $\mathbf{a}$  и  $\mathbf{b}$ :

$$\begin{cases} a_1 = c_1 + \frac{l(\lambda_1\lambda_3 + \lambda_0\lambda_2)}{\lambda_0^2 - \lambda_1^2 - \lambda_2^2 + \lambda_3^2}, \\ a_2 = c_2 + \frac{l(\lambda_2\lambda_3 - \lambda_0\lambda_1)}{\lambda_0^2 - \lambda_1^2 - \lambda_2^2 + \lambda_3^2}, \\ a_3 = c_3 + l/2 \end{cases} \quad \text{и} \quad \begin{cases} b_1 = c_1 - \frac{l(\lambda_1\lambda_3 + \lambda_0\lambda_2)}{\lambda_0^2 - \lambda_1^2 - \lambda_2^2 + \lambda_3^2}, \\ b_2 = c_2 - \frac{l(\lambda_2\lambda_3 - \lambda_0\lambda_1)}{\lambda_0^2 - \lambda_1^2 - \lambda_2^2 + \lambda_3^2}, \\ b_3 = c_3 - l/2. \end{cases} \quad (12)$$

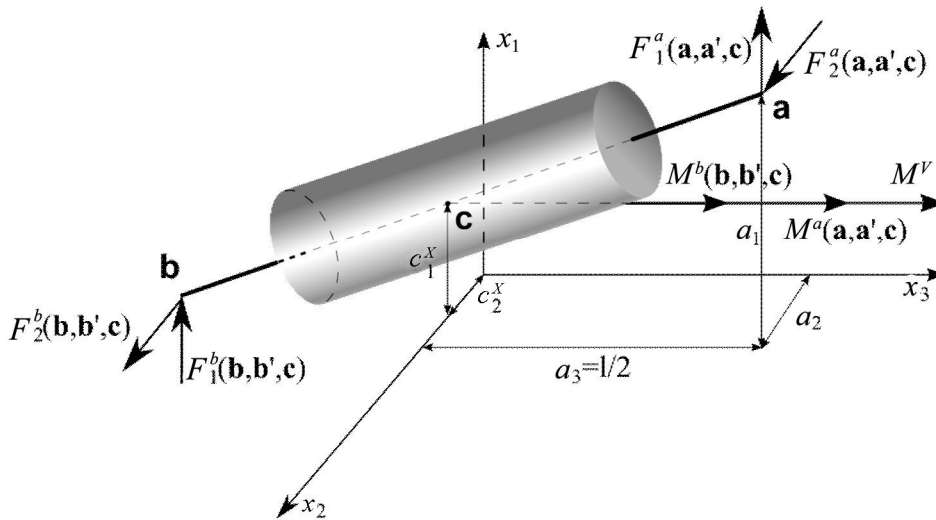


Рис. 2. Обобщенная роторная система

Будем считать, что на основной вал действует суммарный, внешний по отношению к роторной системе, момент  $\vec{M}^V$  и сила  $\vec{F}^V$ . Тогда, учитывая, что суммарный момент, действующий на основной вал, можно определить по формуле:

$$\vec{M} = \vec{M}^V + \vec{M}^{ab} + \mathbf{a} \times \vec{F}^a + \mathbf{b} \times \vec{F}^b, \quad (13)$$

и используя (12), получаем:

$$M^X = L(F^b - F^a) + M^V + M^{ab}, \quad (14)$$

где  $M^V, M^{ab}, F^b, F^a$  – вектор-столбцы с координатами соответствующих векторов в  $X$ ;  $L$  – матрица длин, определяемая как

$$L = \begin{bmatrix} 0 & l & -\frac{2l(\lambda_2\lambda_3 - \lambda_0\lambda_1)}{\lambda_0^2 - \lambda_1^2 - \lambda_2^2 + \lambda_3^2} \\ -l & 0 & \frac{2l(\lambda_1\lambda_3 + \lambda_0\lambda_2)}{\lambda_0^2 - \lambda_1^2 - \lambda_2^2 + \lambda_3^2} \\ -\frac{2l(\lambda_2\lambda_3 - \lambda_0\lambda_1)}{\lambda_0^2 - \lambda_1^2 - \lambda_2^2 + \lambda_3^2} & -\frac{2l(\lambda_1\lambda_3 + \lambda_0\lambda_2)}{\lambda_0^2 - \lambda_1^2 - \lambda_2^2 + \lambda_3^2} & 0 \end{bmatrix}.$$

Исходя из вышесказанного получим систему уравнений, определяющих динамику роторной системы:

$$\begin{cases} \ddot{\lambda} = \Lambda^T J^{-1} \left( KP \left[ L(F^b - F^a) + M^{ab} + M^V \right] + M^0 - G \left[ (T\Lambda\dot{\lambda}) \cdot (T^T \Lambda\dot{\lambda}) \right] \right), \\ \ddot{c} = \frac{1}{m} (F^b + F^a + F^V). \end{cases} \quad (15)$$

Для окончательного построения модели роторной системы, как видно из (15), необходимо задать  $F^b, F^a, M^{ab}, M^V, F^V$ . И если последние два параметра являются произвольными функциями, определяющими некоторое внешнее воздействие на систему, то первые три параметра определяются динамической связью, входящей в состав роторной системы. Очевидно, что они являются функциями состояния роторной системы  $\lambda_i$  и  $c_i$ . Задание этих функций определит окончательный вид математической модели роторной системы. В частности,  $F^b, F^a, M^{ab}$  можно определить, основываясь на рассмотрении подшипниковых креплений ротора как трибосистем, по аналогии с тем, как это сделано в исследовании [3].

Приведем в качестве примера результат моделирования (рис. 3). При этом рассматривалось, что ротор закреплен в низкоскоростных подшипниках скольжения, а в качестве внешнего источника момента был использован двигатель постоянного тока. Качественный вид сечений ротора и статора в контактах **a** и **b** приведен на рис. 4 (в контакте **a** наблюдается импульсный дефект ротора и статора).

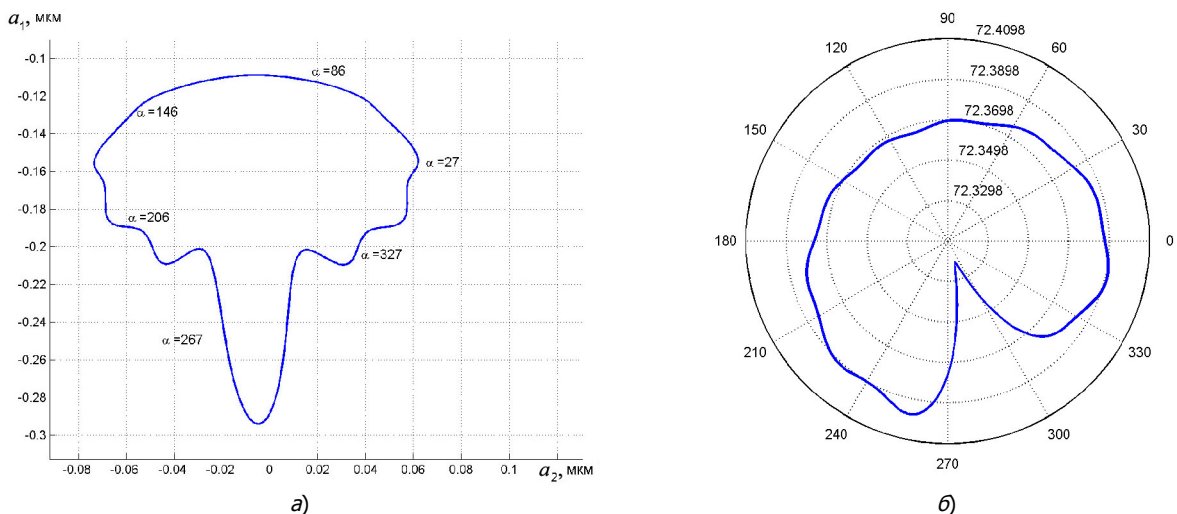


Рис. 3. Результаты моделирования: а – движение ротора в плоскости  $a_1a_2$  в контакте **a**; б – зависимость частоты вращения ротора от его угла поворота

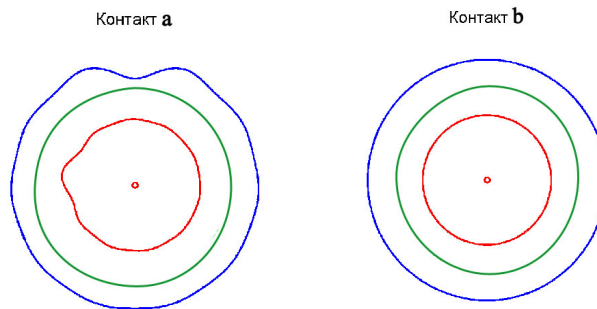


Рис. 4. Качественный вид ротора и статора в подшипниковых узлах

Из рис. 3 видно, что наличие импульсного дефекта оказывает существенное влияние не только на движение ротора в плоскости контакта  $a$ , но и на угловую частоту вращения ротора. Кроме того, виден периодический характер влияния дефекта в зависимости от угла поворота вала  $\alpha$ .

**Выводы.** Предложенная формула Эйлера в параметрах Родрига–Гамильтона, позволяет осуществлять математическое моделирование пространственного движения твердых тел. При этом рассмотрение осуществляется в неподвижном базисе, что облегчает использование данной формулы. Кроме того, с точки зрения численного моделирования, ее несомненным преимуществом является отсутствие тригонометрических функций.

На основе формулы Эйлера в параметрах Родрига–Гамильтона построена модель роторной системы, позволяющая анализировать ее динамические свойства. Подобная модель может быть использована для решения различных задач, в частности задач технической диагностики.

#### Библиографический список

1. Яблонский А.А. Курс теоретической механики: учеб. для техн. вузов / А.А. Яблонский, В.М. Никифорова. – 8-е изд., стер. – СПб.: Изд-во «Лань», 2001. – 768 с.
2. Челноков Ю.Н. Кватернионные и бикватернионные модели и методы механики твердого тела и их приложения. Геометрия и кинематика движения / Ю.Н. Челноков. – М.: Физматлит, 2006. – 512 с.
3. Чувейко М.В. Применение стробоскопического отображения Пуанкаре для диагностирования дефектов узлов сопряжения роторной системы / М.В. Чувейко // Вестн. Донск. гос. техн. ун-та. – 2011. – Т.11, №1(52). – С. 37-42.

Материал поступил в редакцию 05.12.2011.

#### References

1. Yablonskij A.A. Kurs teoreticheskoj mexaniki: ucheb. dlya texn. vuzov / A.A. Yablonskij, V.M. Nikiforova. – 8-e izd., ster. – SPb.: Izd-vo «Lan'», 2001. – 768 s. – In Russian.
2. Chelnokov Yu.N. Kvaternionny`e i bikvaternionny`e modeli i metody` mexaniki tvyordogo te-la i ix prilozheniya. Geometriya i kinematika dvizheniya / Yu.N. Chelnokov. – M.: Fizmatlit, 2006. – 512 s. – In Russian.
3. Chuvejko M.V. Primenenie stroboskopicheskogo otobrazheniya Puankare dlya diagnostirovaniya defektov uzlov sopryazheniya rotornoj sistemy` / M.V. Chuvejko // Vestn. Donsk. gos. texn. un-ta. – 2011. – T. 11, #1 (52). – S. 37–42. – In Russian.

## DYNAMICS OF ROTOR SYSTEM SPATIAL MOTION IN DYNAMIC DIAGNOSTICS

**M.V. CHUVEYKO**

(Don State Technical University)

*The application of the quaternion kinematics for building a mathematical model of the rotor system engaged in three-dimensional motion is considered.*

**Keywords:** dynamics of rotor systems, quaternions, Rodrigues — Hamilton parameters.